AMANITA MERIDIOCECILIAE SP. NOV., UN NUEVO TAXÓN MEDITERRÁNEO PERTENECIENTE A AMANITA SERIES CECILIAE

ILLESCAS, T.

Calle Buenos Aires 3, bajo 1, 14006 Córdoba, España. E-mail: tillescas2@gmail.com

RESUMEN: Amanita meridioceciliae Illescas sp. nov., un nuevo taxón mediterráneo perteneciente a Amanita series Ceciliae. Se describe e ilustra A. meridioceciliae a partir de colecciones realizadas en Andalucía, en ambiente mediterráneo, asociadas a Quercus spp., en suelos neutros o descalcificados. Esta nueva especie es similar macro y microscópicamente a Amanita ceciliae (Berk. & Broome) Bas. Los análisis de los marcadores genéticos ITS, LSU y RPB2 de ambas especies respaldan claramente tanto la diferenciación entre ellas, como respecto de otras especies del género, lo que confirma que se trata de una especie nueva, para la que se propone el binomio Amanita meridioceciliae.

PALABRAS CLAVE: Amanitaceae, Vaginatae, taxonomía, filogenia, Andalucía, España.

ABSTRACT: Amanita meridioceciliae Illescas sp. nov., a new Mediterranean taxon included in Amanita series Ceciliae. A. meridioceciliae is described and illustrated from collections made in Andalusia, in a Mediterranean environment, associated with Quercus spp. in neutral to decalcified soils. This new species is macro- and microscopically similar to Amanita ceciliae (Berk. & Broome) Bas. Analysis of the ITS, LSU and RPB2 genetic markers of both species clearly support their differentiation from each other and from other species of the genus, which confirms that this is a new species, for which the binomial Amanita meridioceciliae is proposed.

KEY WORDS: Amanitaceae, Vaginatae, taxonomy, phylogeny, Andalusia, Spain.

RESUM: Amanita meridioceciliae Illescas sp. nov., un nou tàxon mediterrani que pertany a Amanita series Ceciliae. Es descriu i s'il·lustra A. meridioceciliae a partir de col·leccions d'Andalusia, trobades en ambients mediterranis i associades a Quercus spp., en sòls neutres o descalcificats. Aquesta nova espècie es similar macro i microscòpicament a Amanita ceciliae (Berk. & Broome) Bas. Les anàlisis dels marcadors genètics ITS, LSU y RPB2 d'ambdues espècies recolzen clarament tant la diferenciació entre elles como amb d'altres espècies del gènere, la qual cosa confirma que es tracta d'una espècie nova, per a la que es proposa el binomi d'Amanita meridioceciliae.

PARAULES CLAU: Amanitaceae, Vaginatae, taxonomia, filogènia, Andalusia, Espanya.

INTRODUCCIÓN

Amanita sect. Vaginatae (Fr.) Quél., (CUI et al., 2018) es la sección del género Amanita Pers. (1797) que incluye un mayor número de especies, y cuyo número más ha crecido en las últimas décadas (ILLESCAS & PLAZA, 2022). Encuadrada en esta sección se encuentra Amanita series Ceciliae, que según TULLOSS & YANG (2023) está actualmente integrada por 23 especies, casi todas extraeuropeas. La especie descrita en el presente trabajo viene a incrementar la presencia de especies europeas en este grupo.

MATERIAL Y MÉTODOS

CARACTERES MORFOLÓGICOS. Las descripciones macroscópicas se han realizado a partir de basidiomas frescos procedentes de distintas localidades e ilustrado con fotografías realizadas, siempre que ha sido posible, en el lugar de su recolección. La codificación de los colores de los basidiomas se ha realizado utilizando la carta de color MUNSELL (2009). Los tipos de volva se han descrito siguiendo a FRAITURE (1993). Para el examen microscópico se ha utilizado un microscopio óptico trinocular Motic BA210LED, con cámara Canon 500D acoplada. Las mediciones microscópicas se han tomado sobre material fresco siempre que ha sido posible, o bien sobre material seco convenientemente rehidratado con KOH al 3%. Las medidas microscópicas se han realizado utilizando la fórmula clásica del programa Piximètre 5.10 (HENRIOT, 2020), registrando como mínimo 30 mediciones en el caso de las basidiósporas (en agua, sobre esporada, sin incluir el apículo y en vista lateral), y 20 para el resto de estructuras microscópicas de cada uno de los ejemplares estudiados. Como medios de montaje de las preparaciones microscópicas se han utilizado los siguientes: agua, rojo Congo acuoso, KOH 3% y reactivo de Melzer. Las descripciones del subhimenio y de las estructuras de la volva se han realizado siguiendo a BAS (1969). Las muestras se han depositado en el herbario JA-Cussta.

ESTUDIO MOLECULAR. Para el estudio filogenético se han seleccionado, además de los marcadores ITS y nLSU, ampliamente utilizados en las filogenias del género *Amanita*, la subunidad 2 de la RNA polimerasa II (RPB2), región cada vez más usada como marcador complementario en numerosos géneros de hongos. El DNA total fue extraído a partir de especímenes secos de herbario, empleando una modificación del protocolo de MURRAY & THOMPSON (1980). La amplificación por PCR, basada en MULLIS & FALOONA (1987), incluyó 35 ciclos con una temperatura de anillamiento de 54 ° C, y fue llevada a cabo con los cebadores ITS1F e ITS4 (WHITE *et al.*, 1990, GARDES & BRUNS, 1993) para la región ITS, así como los cebadores LR0R y LR5 (VILGALYS & HESTER, 1990; CUBETA *et al.*, 1991), para la región 28S; bRPB2-6F2 (reverso de bRPB2-6R2), y bRPB2-7R2 para el gen de la segunda subunidad mayor de la RNA polimerasa II (rpb2) (MATHENY *et al.*, 2007). Los resultados fueron controlados en un gel de agarosa al 1%, y las reacciones positivas fueron purificadas y secuenciadas con uno o ambos cebadores de PCR. Las secuencias obtenidas fueron comparadas con los cromatogramas originales para detectar y corregir posibles errores de lectura.

Se ha realizado un alineamiento para cada una de las regiones utilizadas con las secuencias de longitud suficiente obtenidas de las muestras secuenciadas de Amanita meridioceciliae, añadiendo las secuencias más próximas en búsquedas BLAST (ALTSCHUL et al., 1990), dentro de Amanita sect. Vaginatae, especialmente las correspondientes al clado 4 (HANSS & MOREAU, 2020), que integra Amanita series Ceciliae. Para ello se han seleccionado un total de 62 secuencias de un total de 34 especímenes correspondientes a 24 taxones (Tabla 1), de las que 13 (en negrita), se han obtenido para el presente trabajo. De las 62 secuencias, se han extraído 32 correspondientes a la región ITS, 30 a la región LSU y 8 a la región RPB2. Los alineamientos se han llevado a cabo con MAFFT v.7 en su servidor web (KATOH et al., 2019), utilizando el algoritmo L-INS-i, y realizando posteriormente un mínimo ajuste manual con Bioedit v. 7.2 (HALL, 1999). Los alineamientos se han adaptado a las longitudes de las secuencias obtenidas de las especies descritas en este artículo. La matriz combinada resultante consta de un total de 2133 posiciones (581 para la ITS, 922 correspondientes a la LSU y 630 de la RPB2), ha sido objeto de un primer análisis de Máxima Verosimilitud con IQ-TREE v. 2.1.3 (NGUYEN et al., 2015) con los siguientes modelos evolutivos: ITS, HKY+F+G4; LSU y RPB2, TN+F+I+G4, calculados con ModelFinder (KALYAANAMOORTHY et al., 2017), aplicando 300 réplicas de bootstrap standard (BML), así como la prueba aproximada de cociente de verosimilitud Shimodaira-Hasegawa (GUINDON et al., 2010). Asimismo, se realizó un análisis de inferencia



Amanita meridioceciliae JA-Cussta 9360 (holotipo).

bayesiana utilizando Mr. Bayes 3.2.7 (RONQUIST *et al.*, 2012), programando 1500000 réplicas de bootstrap; en este caso se aplicaron los modelos evolutivos calculados con jModeltest 2.1.1 (DARRIBA *et al.*, 2012): ITS, KHY+G; LSU, K80+I+G; RPB2, K80+G. Los árboles resultantes, que se visualizaron con FigTree 1.4.4 (http: //tree.bio.ed.ac.uk/software/figtree/), presentaron una topología casi idéntica. Se han considerado significativos los valores BPP = 0,95 y ML-bs = 80%, que son los que se muestran junto a los clados con suficiente soporte del árbol obtenido mediante el análisis de inferencia bayesiana, utilizado como base para presentar los resultados de ambos análisis filogenéticos (Fig. 2).

ABREVIATURAS Y SÍMBOLOS. **BI**: inferencia bayesiana. — **BPP**: probabilidad posterior bayesiana. — **Lm**: longitud media. — **ML-bs**: valores bootstrap del análisis de máxima verosimilitud. — **n**: número de basidiósporas (u otras estructuras); número de ejemplares; número de recolecciones estudiadas. — **Q**: longitud/anchura. — **Qm**: Lm/Wm — Wm: anchura media.

RESULTADOS

TAXONOMÍA

Amanita meridioceciliae Illescas sp. nov.

MycoBank: MB#850437

Holotypus: SPAIN. Jaén: La Iruela, El Carrascal, 37°58'N, 2°54'W, 740 m, mixed forest with Quercus faginea, Quercus rotundifolia and Cistus monspeliensis, 18-VI-2023, leg. T. Illescas, C. Morente, D. Merino & D. Estrada, JA-CUSSTA 9360 (Herbarium JA of the Junta de Andalucía), GenBank sequences: OR652329 (ITS), OR652358 (LSU), OR654952 (RPB2).

Etimology: From the Latin "meridionalis", due to its mediterranean habitat, and "ceciliae", in reference to the resemblance of this species to Amanita ceciliae (Berk. & Broome) Bas.

Diagnosis: Amanita meridioceciliae is distinguished from other species of Amanita sect. Vaginatae by the combination of the following characters: pileus without umbo, brown (ochre brown, sandy brown or honey brown) or grey (bistre grey, slate grey or silver grey), presenting remains of the general veil, initially whitish, later turning to ash grey or brownish grey, in the form of patches or disaggregated into warts, with a moderate to strongly striated margin. Lamellae whitish, at maturity with slight fleshy or greyish shades, moderately crowded, free; stipe robust, devoid of ring, cylindrical, hollow, often showing a pattern of whitish, silver grey or brownish grey bands on a slightly darker background. Volva almost entirely friable, reduced to irregular patches or bands present in the middle or lower third of the stipe, similar in colour to the remains of the pileus veil, which in some specimens may form a complete circumscribed volva. The remnants of veil and even the cuticle become blackish grey by friction. Basidiospores globose to subglobose, multiguttulate, inamyloid, with apicula often sublateral (mean values $12 \times 11.7 \,\mu\text{m}$, Qm = 1.03), partially sterile ridge, bilateral lamellar trama, fibulae absent in all structures. It differs from the closest species, Amanita ceciliae (Berk. & Broome) Bas by its habitat in Mediterranean forests of Quercus spp. with or without nearby presence of Cistus, by the greyish colorations of its pileus and by its ITS and LSU sequences.

Basidiomas de tamaño mediano a grande, con crecimiento solitario o gregario. Píleo de 85-120 mm de diámetro, de inicialmente hemisférico a plano-convexo, en la madurez ligeramente deprimido, normalmente sin umbón, con cutícula lisa de color variable: pardo ocre a pardo arena (10YR 6/4, 2.5Y 7/4) o pardo miel (7.5 YR 6/8), en ocasiones con tonalidades grises en el centro (5Y 7/1); también puede presentar coloraciones predominantemente grises, bien gris bistre (10Y 5/2) con tonalidades más oscuras en el centro (gris pizarra, 5Y 5/1), bien gris pardo (7,5Y

5/2) o gris plateado (10 RP 8/1); restos velares en el píleo en forma de placas gruesas de color inicialmente blanquecino, para pasar pronto a un tono gris medio, gris ceniza o gris pardo (5Y 6/1, 10PB 8/1, 10YR 7/1), que tienden a disgregarse en verrugas irregulares normalmente con relieve marcado, distribuidas especialmente hacia el centro, aunque en algunos ejemplares éste es más delgado o apenas presentan restos de velo; margen de moderada a fuertemente estriado, ocupando un 15-20% del radio. Láminas blanquecinas, al madurar con ligera tonalidad cárnea o grisácea (5GY 9/1, 10RP 9/1, 5B 8/1), medianamente densas, libres, de ligera a medianamente ventrudas, agudas en el margen y frecuentemente bifurcadas, con arista concolor o algo más oscura, ligeramente crenulada, con numerosas lamélulas abruptamente truncadas. Estípite de 90-160 × 15-30 mm, robusto, sin anillo, cilíndrico, progresivamente ensanchado hacia la base, hueco, cubierto de restos más o menos abundantes y patentes de velo parcial, de color blanquecino grisáceo, gris plateado o gris parduzco (5YR 9/1, 10PB 8/1, 10YR 7/1), que frecuentemente forma un patrón de bandas sobre un fondo ligeramente más oscuro. Volva casi enteramente friable de tipo I, reducida a placas o bandas irregulares presentes en la mitad o el tercio inferior del estípite, que en algunos ejemplares puede formar una volva circuncisa completa, de color similar al de los restos de velo de la cutícula o algo más claro; tanto los restos de velo como en algunos casos la cutícula toman una coloración gris-negruzca más o menos intensa al roce. Contexto blanquecino, de olor y sabor fúngicos suaves. Esporada blanca. Corología: especie termófila, que fructifica sobre todo durante la primavera avanzada (mayo-junio), aunque también en otoño (noviembre), en bosques mediterráneos de Quercus spp. sobre suelos descalcificados o ácidos, con o sin presencia cercana de Cistus spp.

Basidiósporas de (10.3)-11.0-13.6- $(15.6) \times (10.2)$ -10.8-13.0-(15.2) µm. Lm = 12.0 µm. Wm = 11.7 μm , Q = 1.00-1.07-(1.11), Qm = 1.03; n = 65 (holotipo); $(9.9)-11.0-13.3-(14.4) \times (9.7)-10.4-12.6 (13.8) \mu m$, Lm = 12.0 μm , Wm = 11.4 μm , Q = (1.00)-1.01-1.11-(1.18), Qm = 1.05; n = 245/7/5, de globosas a subglobosas (con carácter excepcional, largamente elipsoidales), con apículo hemisférico o cuadrangular poco prominente, de 0,9-1,4 × 1,7-2,2 μm, en numerosos casos situado en posición sublateral o lateral; de pared fina, hialinas, multigutuladas en material fresco (Fig. 1), agregadas en una gran gútula en el material deshidratado, inamiloides. Arista parcialmente estéril. Células marginales de 23-48 × 18-44 μm, subesféricas, con paredes engrosadas <1 μm, presentes con un grado de abundancia variable. Basidios de 43-61 × 12-16 µm, claviformes, normalmente tetraspóricos, con fino contenido granular amarillo-verdoso, y esterigmas algo curvos de 4-8-(11) µm de longitud, entre los que se aprecian elementos estériles formados por 2-3 (4) células concatenadas, con las terminales irregularmente claviformes, frecuentemente tibiiformes, de 15-28 × 9-15 µm. Subhimenio de 40-80 µm de ancho, predominantemente de tipo celular, aunque de tipo ramificado bajo los basidios, formado por (2)-3-4 artículos de 9-19 \times 6-16 µm (Qm = 1,5). Trama laminar bilateral, de 400-425 µm de espesor. Himenopodio de (75)-80-170-(185) µm de espesor, formado por células concatenadas de prismáticas a globosas, con elementos terminales claviformes, irregularmente elipsoidales u obpiriformes, divergentes en ángulo entre 45-90°, de 22-63 × 14-24 µm, con pared ligeramente engrosada. Medioestrato de (25)-60-90-(140) um de ancho, compuesto por una mezcla de hifas cilíndricas, septadas, ligeramente gelificadas, paralelas al eje de la lámina, de 3,5-7,8 um de ancho, y de acrofisálides de 11-17,5 µm de ancho. Pileipellis de (350)-360-500-(530) µm de anchura. Suprapellis con estructura de ixocutis, de (85)-135-200-(220) µm de ancho, formada por hifas septadas paralelas a la superficie, de color amarillo verdoso, de 1,5-6,1 μm de ancho, las superiores hialinas y muy gelificadas. Subpellis constituida por hifas septadas, entrelazadas, con pared ligeramente engrosada (hasta 1 μm), con un pigmento mayormente intracelular de color amarillo-verdoso, de 4,3-9,4 µm de ancho. Contexto bajo la pileipellis formado por acrofisálides de paredes 1-1'5 μ m de ancho, que presentan pigmento extra e intraparietal amarillento, de 61-134 × 12-23 μ m, entremezclados con hifas similares a las de la subcutis. Volva con un desarrollo variable, en la

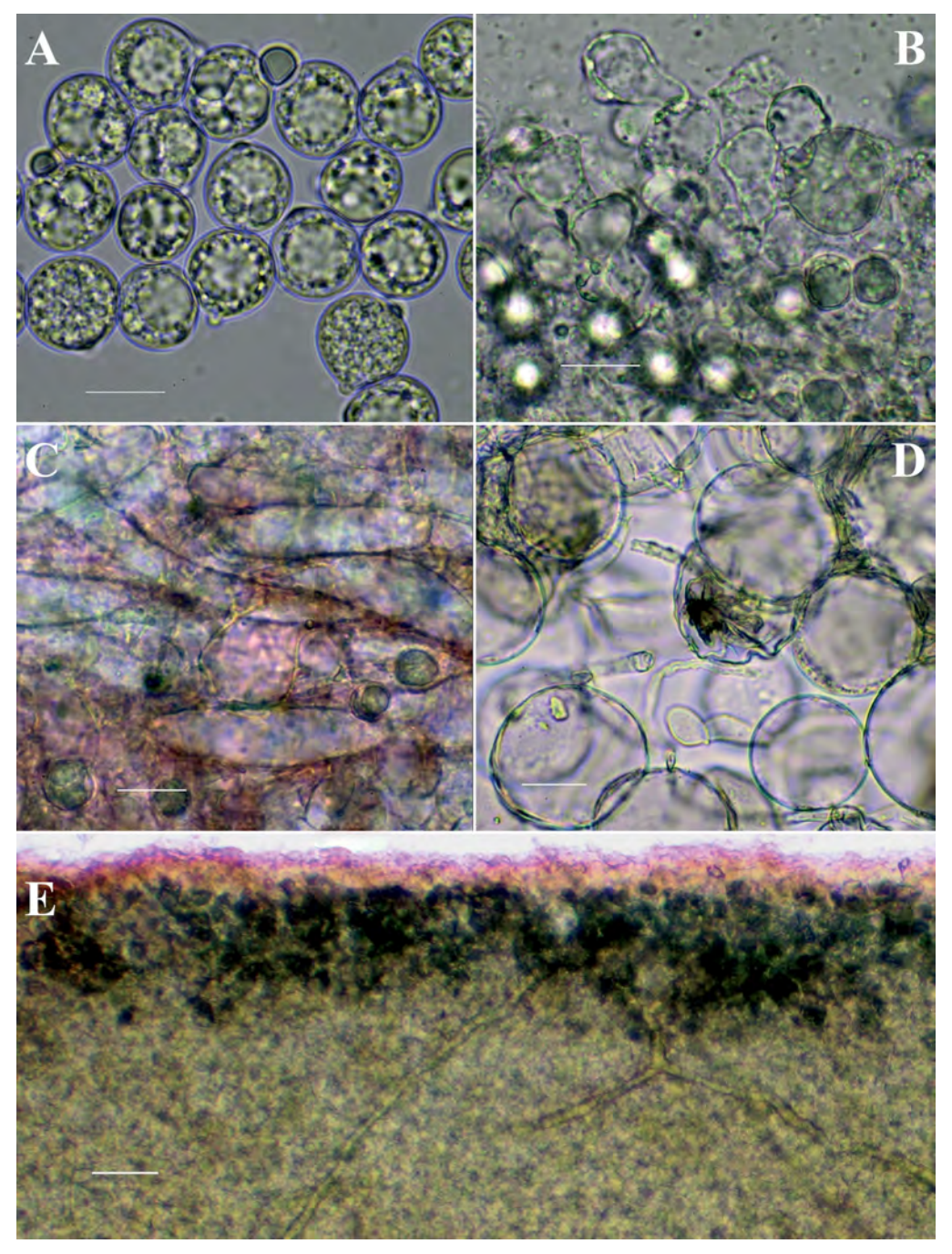


Fig. 1.- *A. meridioceciliae* JA-CUSSTA 9360 (holotipo). A) Basidiósporas; B) Elementos de la arista; C) Medioestrato; D) Esferocitos e hifas de la volva; E Epicutis. Barras de escala A: 10 μm, B-D: 20 μm, E: 50 μm.

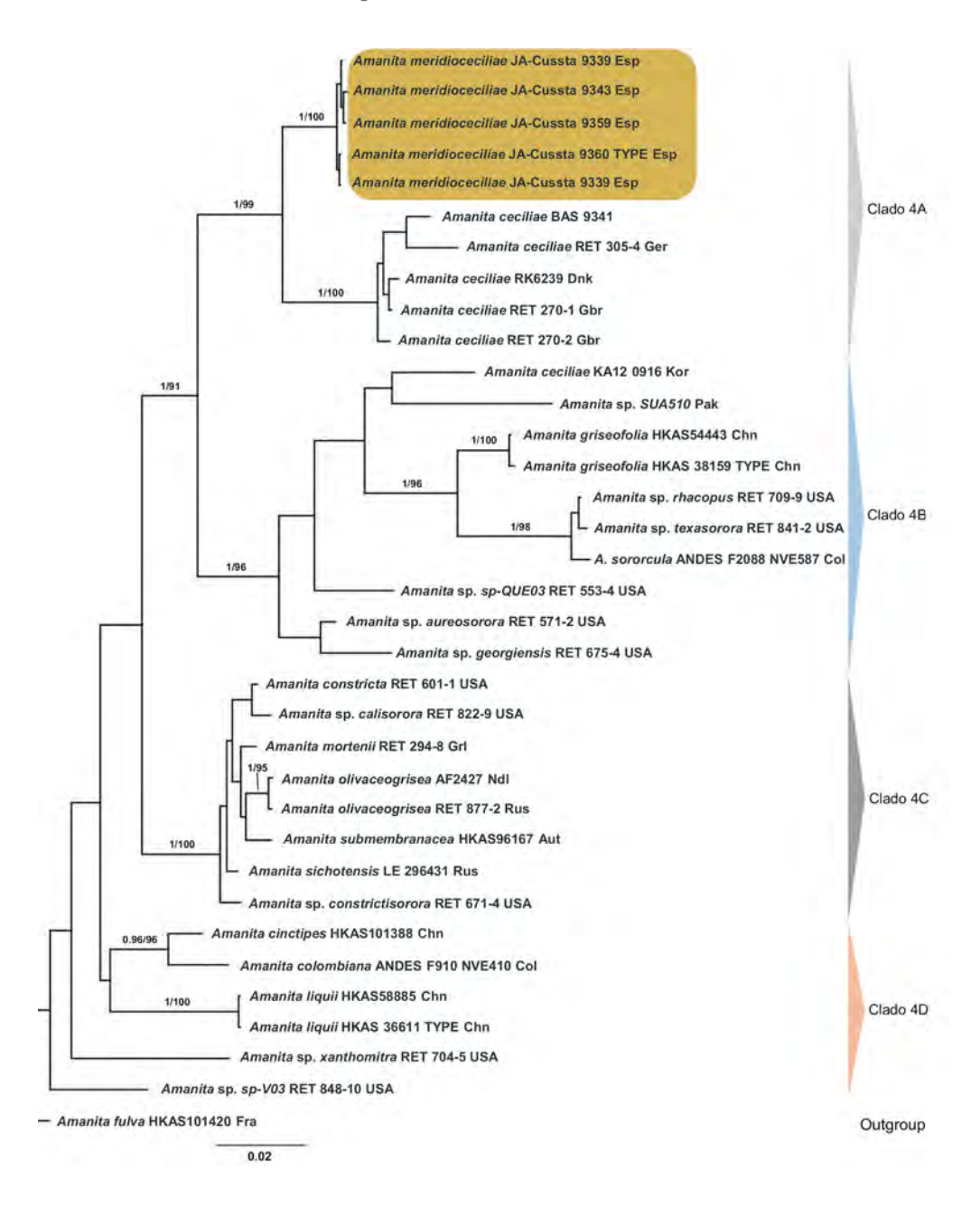


Fig. 2.- Hipótesis filogenética de *Amanita* sección *Vaginatae*, Clado 4. Árbol obtenido mediante análisis de inferencia bayesiana (BI), mostrando en las ramas los valores de probabilidad posterior bayesiana (BPP) y soporte bootstrap ML (ML-bs) considerados significativos (BPP/ML-bs; BPP = 0,95 y ML-bs = 80%, respectivamente. Las secuencias generadas para el presente estudio se resaltan en ocre.

que se pueden observar hasta tres capas diferenciadas. Capa externa de (225)-300-335-(600) µm de espesor, constituida mayoritariamente por esferocitos con pared hasta 1.5-(1.8) um, sobre todo subglobosos, con algunos anchamente elipsoidales u obpiriformes, de 29-56 × 24-51 μm, sujetos por una laxa red de hifas septadas, con pared ligeramente engrosada, poco pigmentadas, de 3,7-8,0 μm de ancho, con presencia de algunos elementos fisaloides hasta de 16 μm de ancho. Capa intermedia de (275)-330-350-(465), de estructura similar a la de la capa externa, aunque más compacta y con mayor profusión de pigmentos pardo-negruzcos, con hifas algo más anchas (5,8-8,6 µm). Capa interna de (60) 100-400 (450) µm de espesor, formada mayoritariamente por hifas septadas, paralelas al estípite o entrelazadas, con abundante pigmento intracelular e incrustante pardo verdoso, de 3-5,9 µm de ancho. En la zona adyacente al estípite suele diferenciarse una capa de hifas paralelas al mismo, delgadas y gelificadas, de 1,2-2,4 µm de ancho, a la que en los ejemplares con volva menos desarrollada suele reducirse esta capa. Estipitipellis formada por hifas paralelas a la superficie, de 4-8,5 μm de ancho. Contexto en el estípite formado por acrofisálides hasta de 200 µm de largo y 15-25 µm de ancho. Hifas oleíferas de 7-10 µm de ancho, ramificadas, presentes en sobre todo en pileipellis y trama laminar. Fíbulas ausentes en todos los tejidos estudiados.

FILOGENIA

En los árboles filogenéticos obtenidos, el clado de *Amanita meridioceciliae* sp. nov. posee el máximo soporte, con *A. ceciliae* (Berk. & Broome) Bas como la especie más cercana. Las secuencias obtenidas del holotipo de *A. meridioceciliae* (ITS, OR652329; LSU, OR652358), presentan una identidad con la muestra seleccionada como material de referencia de *A. ceciliae* (20.IX.1994, E.W. Brown s.n., RET 270-1, secuencia nrITS OK299148, nrLSU OK299170) de un 92,6% al nivel de ITS, con 20 sustituciones y 18 indels, y del 98,2% para la LSU (14 sustituciones, 2 indels), excluyendo del cómputo las bases de lectura ambigua.

A. meridioceciliae forma junto a A. ceciliae un clado denominado 4A (Fig. 2). Este clado de las "ceciliae europeas" se alinea junto al clado de las "ceciliae extraeuropeas", denominado 4B, entre las que se encuentran Amanita griseofolia Zhu L. Yang (Asia), Amanita rhacopus Lamoureux ex Lamoureux in Lambert et al., y las especies americanas designadas con los nombres provisionales Amanita texasorora nom. prov. Tulloss, Kudzma & D.P. Lewis, Amanita georgiensis nom. prov. Tulloss & Kudzma, y Amanita aureosorora nom. prov. Tulloss & Kudzma, partiendo ambos de un clado común bien soportado. El clado denominado 4C recoge casi todas las especies que TULLOSS & YANG (2023) incluyen en Amanita series Submembranaceae ined., situándose Amanita liquii Zhu L. Yang, M. Weiss & Oberw. junto al resto de "ceciliae" extraeuropeas en el clado 4D.

MATERIAL ADICIONAL ESTUDIADO: ESPAÑA. CÓRDOBA: Córdoba, Conejeras, 568 m, bosque mixto con *Quercus rotundifolia*, *Q. suber*, *Pinus pinea* y *Pistacia lentiscus*, 21-V-2018, *leg*. C. Morente y T. Illescas, JA-CUSSTA 9339; *Ibid.*, Lagar de la Cruz, 551 m, bosque mixto de *Q. rotundifolia*, *Q. suber* y *P. pinea*, con *Cistus albidus* y *C. monspeliensis*, 6-V-2022, *leg*. T. Illescas, JA-CUSSTA 9342 (duplicado TI-22050601); JAÉN: La Iruela, El Carrascal, 740 m, bosque mixto con *Quercus faginea*, *Q. rotundifolia* y *Cistus monspeliensis*, 18-VI-2023, *leg*. T. Illescas, C. Morente, D. Merino y D. Estrada, JA-CUSSTA 9359; SEVILLA: La Puebla de los Infantes, sin localización, bosque mixto de *Quercus suber*, y *Q. rotundifolia*, 25-11-2018, *leg*. participantes en las XIII Jornadas Micológicas de La Puebla de los Infantes, JA-CUSSTA 9343.

DISCUSIÓN

Se describe aquí *Amanita meridioceciliae* como especie nueva para la ciencia, a partir de estudios morfológicos y moleculares realizados sobre un total de cinco colecciones, todas localizadas en bosques mediterráneos, y la mayor parte de ellas en primavera. Ninguna de estas recolecciones mediterráneas, a pesar de su similitud morfológica en algunos casos, ha resultado atribuible

genéticamente a *A. ceciliae*, lo que nos hace pensar en que este último sería un taxón de distribución eurosiberiana, frente al taxón aquí descrito, en principio de distribución mediterránea. El aspecto morfológico de ambas especies resulta muy similar, aunque *A. meridioceciliae* puede presentar un velo menos conspicuo y mayor tendencia a ennegrecer al roce, así como unas tonalidades grises o grisáceas alejadas del típico color pardo cálido del píleo de *A. ceciliae*.

Amanita series Ceciliae contendría, según algunas de sus interpretaciones más recientes:

- Especies sin anillo, con velo universal blanco, con manchas de ocráceas a amarillentas, o que presenta diversos tonos de gris, de friable a subpulverulento (CONTU, 2003). Once taxones, entre ellos algunos actualmente incluidos en otras agrupaciones del género, como Amanita simulans Contu.
- Especies sin anillo, con velo universal blanco que vira netamente al gris, con esfumaciones pardo-rosadas u ocre rosadas, friable o submembranoso (MORINI & CONSIGLIO, 2012). Estos autores amplían el concepto de M. Contu, añadiendo taxones actualmente incluidos en otras agrupaciones del género, como *Amanita nivalis* Grev. o *Amanita ochraceomaculata* Neville, Poumarat & Fraiture [= *Amanita brunneofuliginea* f. ochraceomaculata (Neville, Poumarat *et* Fraiture) P.-A. Moreau (HANSS & MOREAU, 2020)].
- En TULLOSS & YANG (2023), *Amanita* series *Ceciliae ined*. recoge 23 taxones, sobre todo extraeuropeos, muchos de ellos no descritos formalmente. Cabe destacar que de tres de ellos no existen secuencias depositadas en ningún repositorio público, y que otros cuatro se sitúan fuera del clado 4, según los resultados de los análisis filogenéticos realizados preliminarmente; entre ellos se cuenta *Amanita beckeri* Huijsman, que se sitúa en el clado 5 en compañía de *A. simulans*.

Obviamente, la especie más afín a *A. meridioceciliae* es la especie a la que hace referencia su epíteto, la propia *A. ceciliae*, de la que *Amanita inaurata* Secr. *ex* Gillet se considera un sinónimo. Usualmente descrita como no frecuente, aunque extendida por los bosques de planifolios de la Europa templada, especialmente de *Fagus*, sobre suelos con predominancia caliza, presenta macroscópicamente una cutícula de color de amarillento a pardo oscuro, un velo usualmente gris o gris oscuro, que puede presentarse en el píleo en forma de escamas planas o piramidales y que se presenta más persistentemente en forma de rebordes circulares a lo largo del estípite, en comparación con la especie aquí descrita. Por otra parte, la microscopía de *A. ceciliae* es similar a la *A. meridioceciliae*: su tamaño esporal, aunque es muy variable según la bibliografía consultada, en general resulta equiparable en ambas especies (p. ej., $12,1 \times 11,3 \mu m$, $Qm = 1,07 \times 11,4 \mu m$, $Qm = 1,05 \times$

Amanita inaurata f. royeri L. Maire (GILBERT, 1918), fue sucintamente descrita con "Sombrero ceniciento negruzco, con tinte unicolor más o menos atenuado, brillante. Estípite con escamas grises. En los alrededores de St-Dizier.". Dada la latitud a la que se encuentra esta localidad francesa (aproximadamente la de Paris), es más probable que se trate de una (muy rara) forma gris de A. ceciliae que de A. meridioceciliae.

Amanita pseudostrangulata Neville & Poumarat ad int. es el nombre de trabajo dado por estos autores a un taxón recolectado en bosques esclerófilos de Quercus y maquia mediterránea, con un sombrero de un pardo grisáceo a oliváceo, con restos de velo general friable gris ceniciento y esporas de globosas a anchamente elipsoidales, y que los autores identifican especialmente con la muestra nº 1808 de Malençon y Bertault (MALENÇON & BERTAULT, 1970), reproducida en la plancha II de NEVILLE & POUMARAT in FERRER et al. (2009), que recuerda mucho al holotipo de A. meridioceciliae (JA-Cussta 9360). Aunque en las muestras examinadas de A. meridioceciliae se pueden encontrar algunas esporas anchamente elipsoidales, y es habitual,

 Tabla 1: Relación de secuencias incluidas en los estudios filogenéticos.

| TAXÓN | COLECCIÓN | ITS | LSU | RPB2 | PAÍS |
|-------------------------|--------------------|-----------|-----------|----------|------|
| A. ceciliae | BAS 9341 | | AF024444 | | NLD? |
| A. ceciliae | JV04-235 | UDB002316 | | | DNK |
| A. ceciliae | RET 270-1 | OK299148 | OK299170 | | GBR |
| A. ceciliae | RET 270-2 | OK299149 | | | GBR |
| A. "ceciliae" | KA12-0916 | KF017930 | KF021669 | | KOR |
| A. cinctipes | HKAS101388 | MH508304 | MH486448 | | CHN |
| A. colombiana | ANDES_F910_NVE410 | KT008027 | KT008041 | | COL |
| A. constricta | RET 601-1 | MZ503638 | MZ503638 | | USA |
| A. fulva | HKAS101420 | MH508370 | MH486554 | MH486021 | FRA |
| A. griseofolia T | HKAS_38159 | NR_119498 | NG_042401 | | CHN |
| A. griseofolia | HKAS54443 | MH508376 | MH486564 | MH486029 | CHN |
| A. liquii | HKAS58885 | MH508426 | MH486627 | MH486077 | CHN |
| A. liquii T | HKAS_36611 | NR_119499 | NG_042402 | | CHN |
| A. meridioceciliae | JA-CUSSTA 9339 | OR652331 | OR652360 | OR654954 | ESP |
| A. meridioceciliae | JA-CUSSTA 9342 | OR652333 | OR652362 | OR654953 | ESP |
| A. meridioceciliae | JA-CUSSTA 9343 | OR652332 | OR652361 | | ESP |
| A. meridioceciliae | JA-CUSSTA 9359 | OR652330 | OR652359 | | ESP |
| A. meridioceciliae T | JA-CUSSTA 9360 | OR652329 | OR652358 | OR654952 | ESP |
| A. mortenii | RET 294-8 | KT317713 | KT317710 | | GRL |
| A. olivaceogrisea | RET 877-2 | MW526936 | MW526936 | | RUS |
| A. olivaceogrisea | AF2427 | MF461569 | | MF440402 | NDL |
| A. rhacopus | RET 709-9 | MN650865 | MN650865 | | USA |
| A. sichotensis | LE 296431 | KM658293 | KM658304 | | RUS |
| A. sororcula | ANDES_F2088_NVE587 | KT008017 | KT008030 | | COL |
| A. sp. aureosorora | RET 571-2 | MZ385703 | MZ385703 | | USA |
| A. sp. calisorora | RET 822-9 | MT229853 | MT229853 | | USA |
| A. sp. constrictisorora | RET 671-4 | MN820541 | MN820541 | | USA |
| A. sp. georgiensis | RET 675-4 | MH753077 | MH806865 | | USA |
| A. sp. sp-QUE03s | RET 553-4 | | KX443410 | | USA |
| A. sp. SUA510 | SUA510 | MW425329 | | | PAK |
| A. sp. texasorora | RET 841-2 | MN614385 | MN614385 | | USA |
| A. sp. V03 | RET 848-10 | MN614381 | MN614381 | | USA |
| A. sp. xanthomitra | RET 704-5 | KY435416 | KY435390 | | USA |
| A. submembranacea | HKAS96167 | MH508625 | MH486915 | MH486315 | AUT |



Amanita meridioceciliae: variabilidad morfológica y cromática de: JA-Cussta 9343 (arriba); JA-Cussta 9342 (abajo). Imágenes del resto de muestras en: 10.6084/m9.figshare.24274342.

según las muestras, encontrar esporas que se alejan de la forma globosa y presentan un apículo lateral o sublateral, ninguna de las recolectas de *A. meridioceciliae* examinadas presenta unas esporas equiparables a las reseñadas por Malençon y Bertault, cuya media aproximada sería $13.8 \times 12.3 \ \mu m$, con Qm 1,12. Por otra parte, resulta muy probable que *A. meridioceciliae* se encuentre en Marruecos o en las provincias mediterráneas francesas.

Tras A. ceciliae, la especie europea más próxima es Amanita submembranacea (Bon) Gröger, que se distingue básicamente de las "ceciliae europeas" por su volva usualmente membranosa, y su preferencia por las coníferas de montaña frente a los planifolios. Se ha descrito A. submembranacea var. pseudoargentata Contu, que difiere del tipo por su "sombrero plateado y pie jaspeado de gris" (CONTU, 1986). Entre las especies extraeuropeas, la asiática A. griseofolia Zhu L. Yang es la más próxima desde el punto de vista filogenético, y también similar morfológicamente (YANG in AGERER et al. 2004). En el subclado 4B se encuentran, entre otras especies no formalmente descritas, las especies norteamericanas designadas con los nombres provisionales A. aureosorora y A. georgiensis (TULLOSS & YANG, 2023). La primera es una especie con tonalidades doradas en el píleo y estípite, y velo ligeramente grisáceo; la segunda, recolectada en Pinus spp., es una especie con el píleo pardo oscuro grisáceo, que presenta escasos restos velares, que pueden llegar a formar una volva sacciforme en la base del estípite en algunos ejemplares.

Otras especies con cierta similitud morfológica a *A. meridioceciliae*, aunque con menor afinidad filogenética, serían sobre todo *Amanita xanthomitra* nom. prov. Tulloss y *A. rhacopus* (TULLOSS & YANG, 2023) en Norteamérica, *Amanita cinctipes* Corner & Bas (CORNER & BAS, 1952) y *A. liquii* (YANG *et al.*, 2004) en Asia, y *Amanita sororcula* Tulloss, Ovrebo & Halling (TULLOSS *et al.*, 1992) en Mesoamérica. Dos especies también similares, de las que no existen secuencias disponibles, son *Amanita antillana* Dennis, esbelta especie descrita de Trinidad, pero que se separaría de las "*ceciliae* europeas", según su diagnosis (DENNIS, 1952), por sus esporas de 9,5-13,5 × 7,5-11,5 µm, medidas que arrojarían un Q_m en torno a 1,2; *Amanita aureosolea* Tulloss *nom. prov.*, en cambio, se puede separar por sus restos velares pardo-anaranjados (TULLOSS & YANG, 2023).

AGRADECIMIENTOS

A mi pareja, Concepción Morente, por compartir la afición de la micología, y muchas de las salidas donde hemos recolectado esta nueva especie. A Pierre-Arthur Moreau, por sus comentarios al presentarle esta especie. También a Pierre-Arthur Moreau y a François Valade, por la documentación aportada con relación al presente trabajo. A Manuel Plaza, por su ayuda en el trabajo filogenético. A Jaume Llistosella, por la traducción al catalán del resumen del presente artículo.

REFERENCIAS

ALTSCHUL, S.F.; GISH, W.: MILLER, W.; MYERS, E.W. & LIPMAN, D.J. (1990). Basic local alignment search tool. J. Mol. Biol. 215: 403-410.

BAS, C. (1969). Morphology and subdivision of *Amanita* and a monograph of its section *Lepidella. Persoonia* 5 (4): 285-579. CONTU, M. (1986). Novitates (2) (Genre *Amanita*). *Doc. Mycol.* 17 (65): 62.

CONTU, M. (2003). A revised key to Amanita section Vaginatae (Fr.) Quél. in Europe. Field Mycol. 4: 128-136.

CORNER, E.J.H. & BAS, C. (1962). The genus Amanita in Singapore and Malaya. Persoonia 2 (3): 241-304.

CUBETA, M; ECHANDI, E.; ABERNETHY, T. & VILGALYS, R. (1991). Characterization of anastomosis groups of binucleate *Rhizoctonia* species using restriction analysis of an amplified ribosomal RNA gene. *Phytopathology* 81 (11): 1395-1400.

CUI, Y.Y.; CAI, Q.; TANG, L.P.; LIU, J.W. & YANG, Z.L (2018). The family *Amanitaceae*: molecular phylogeny, higher-rank taxonomy and the species in China. *Fungal Diversity* 91: 5-230.

- DARRIBA, D.; TABOADA, G.L.; DOALLO, R. & POSADA, D. (2012). jModelTest 2: more models, new heuristics and parallel computing. *Nature, Meth.* 9: 772.
- DENNIS, R.W.G. (1952). Lepiota and allied genera in Trinidad, British West Indies. Kew Bull. 4: 459-499.
- FRAITURE, A. (1993). Les Amanitopsis d'Europe (genre *Amanita*, Agaricales, Fungi) Synthèse critique de la littérature. *Opera Bot. Belg.* 5: 1-128.
- GALLI, R. (2001). Le Amanite. Edinatura. Milano: 216 pp.
- GARDES, M. & BRUNS, T.D. (1993). ITS primers with enhanced specificity for Basidiomycetes Application to the identification of mycorrhiza and rust. *Molec. Ecol.* 2: 113-118.
- GILBERT, E.J. (1918). Le genre Amanita Persoon. Biblioth. Mycol. 53: 1-186. [Reimpresión de 1976]
- GUINDON, S.; DUFAYARD, J.F.; LEFORT, V.; ANISIMOVA, M.; HORDIJK, W. & GASCUEL, O. (2010). New algorithms and methods to estimate maximum-likelihood phylogenies: assessing the performance of PhyML 3.0. *Syst. Biol.* 59, 307-321.
- HALL, T.A. (1999). BioEdit: A user-friendly biological sequence alignment editor and analysis program for Windows 95/98/ NT. *Nucleic Acids Symposium Series* 41: 95-98.
- HANSS, J.M. & MOREAU, P.A. (2020). Une révision des Amanites «vaginées» (*Amanita* sect. *Vaginatae*) en Europe, 1^{re} partie: quelques Amanites argentées. *Bull. Soc. Mycol. France* 133 (1-2): 67-141.
- HENRIOT, A. & CHEYPE, J.L. (2020). Piximètre: La mesure de dimensions sur images. http://www.piximetre.fr/[consultada el 27-IX-2023].
- ILLESCAS, T. & PLAZA, M. (2022). Amanita calida sp. nov., una nueva especie europea de Amanita sect. Vaginatae. Fungi Iberici 2: 41-54.
- KALYAANAMOORTHY, S.; MINH, B.Q.; WONG, T.K.F.; VON HAESELER, A, & JERMIIN, L.S. (2017). Model-Finder: fast model selection for accurate phylogenetic estimates. *Nature, Meth.* 14: 587-589.
- KATOH, K.; ROZEWICKI, J. & YAMADA, K. (2019). MAFFT online service: multiple sequence alignment, interactive sequence choice and visualization. *Briefings in Bioinformatics* 20 (4): 1160-1166.
- MALENÇON, G. & BERTAULT, R. (1970). Flore des Champignons du Maroc I. *Trav. Inst. Sci. Chérif., Sér. Bot.* 32: 604 pp. MATHENY, P.B.; WANG, Z.; BINDER, M.; CURTIS, J.M.; LIM, Y.W.; NILSSON, R.H.; HUGHES, K.W. *et al.* (2007). Contributions of rpb2 and tef1 to the phylogeny of mushrooms and allies (Basidiomycota, Fungi). *Molecular Phylogenetics and Evolution* 43: 430-451.
- MORINI, S. & CONSIGLIO, G, (2012). Alcune Amanita della Serie Ceciliae. Rivista di Micologia 3: 227-257.
- MULLIS, K.B. & FALOONA, F.A. (1987). Specific synthesis of DNA in vitro via a polymerase-catalyzed chain reaction: 355-350. *In* WU R (ed). *Recombinant DNA Part F.* Methods in Enzymology 155. Academic Press. San Diego.
- MUNSELL (2009). Munsell Book of Soil Color Charts 2009 Revision. X-Rite, Incorporated. Grand Rapids. Michigan.
- MURRAY, M.G. & THOMPSON, W.F. (1980). Rapid isolation of high molecular weight plant DNA. *Nucl. Acids Res.* 8 (19): 4321-4326.
- NEVILLE, P. & POUMARAT, S. (2009) Compléments à la flore des champignons supérieurs du Maroc de G. Malençon et R. Bertault. In FERRER, J. et al edit. Confédération Européenne de Mycologie Méditerranéenne. Nice: 813 pp.
- NGUYEN, L.T.; SCHMIDT, H.; HAESELER, A. & QUANG, B. (2015). IQ-TREE: A fast and effective stochastic algorithm for estimating maximum-likelihood phylogenies. *Molec. Biol. Evol.* 32 (1): 268-274.
- RONQUIST, F.; TESLENKO, M.; VAN DER MARK, P. et al. (2012). MrBayes 3.2: Efficient Bayesian Phylogenetic Inference and Model Choice Across a Large Model Space. Syst. Biol. 61: 539-542.
- TRIFINOPOULOS, J., NGUYEN, L.T., VON HAESELER, A. & MINH, B.Q. (2016). W-IQ-TREE: a fast online phylogenetic tool for maximum likelihood analysis. *Nucl. Acids Res.* 44 (W1): W232-W235.
- TULLOSS, R.E.; OVREBO, C.L. & HALLING, R.E. (1992). Studies on *Amanita* (Agaricales) from Andean Colombia. *Mem. New York Bot. Gard.* 66: 1-46.
- TULLOSS, R.E. & YANG, Z.L. (eds.) (s. d.) http://www.amanitaceae.org/[consultada el 11-IX-2023].
- VILGALYS, R. & HESTER, M. (1990). Rapid genetic identification and mapping of enzymatically amplified ribosomal DNA from several Cryptococcus species. *J. Bacteriol.* 172 (8): 4238-4246.
- WHITE, T.J.; BUMS, T.; LEE, S. & TAYLOR, J. (1990). Amplification and direct sequencing of fungal ribosomal RNA genes for phylogenetics: 315-322. *In* INNIS, M.A. *et al.* (ed.) *PCR protocols: A guide to methods and applications*. Academic Press. San Diego. California. USA.
- YANG, Z.L. (2004). Frontiers Basidiomycote. In AGERER, R. et al eds. Mycol. (IHW Verlag, Eching): 315, figs. 1-7.
- YANG, Z.L.; WEISS, M. & OBERWINKLER, F. (2004). New species of *Amanita* from the eastern Himalaya and adjacent regions. *Mycologia* 96 (3): 636-646.

NORMES DE PUBLICACIÓ DE LA REVISTA CATALANA DE MICOLOGIA

La Revista Catalana de Micologia (d'ara endavant RCM) accepta treballs escrits preferentment en català, castellà i anglès, però també en francès o italià. Els treballs no tindran límit d'extensió, però restarà a criteri del consell de redacció l'acceptació de treballs que excedeixin les 20 pàgines impreses. Per tal de facilitar la feina dels autors, a continuació mostrem en una llista tabulada, els criteris que han de seguir per elaborar el seu treball. S'aconsella als autors que marquin les caselles a mesura que les van complint i que ho adjuntin amb la seva tramesa.

Els originals, més aquest full amb les caselles marcades, s'enviaran en format electrònic a: **revista@micocat. org**. En el cas de que els arxius siguin massa pesants (sobretot fotografies) i superin la quota es podrà optar per usar sistemes alternatius (tipus "Dropbox"). L'ús del correu ordinari, CDs, DVDs, etc, no s'accepta.

El text s'haurà de redactar en format *. doc o *. docx de Microsoft Word.

El tipus de lletra de tot el text serà Times New Roman mida 11. S'haurà d'utilitzar un interlineat de 1, 5.

El format de pàgina serà DINA4, amb marges superior i inferior de 2, 5 cm, esquerra i dreta de 3 cm.

En el text s'evitaran en tot moment els subratllats, els tabuladors, els marges entrats i el tipus de lletra negreta.

Només (vegeu excepció en l'apartat de Bibliografia!) es posaran en cursiva els noms de les espècies i dels gèneres. Les categories taxonòmiques superiors a les de gènere portaran la primera lletra en majúscula, sempre que el tàxon estigui escrit en llatí; si el tàxon es vulgaritza anirà sempre en minúscules (exemple: *Tricholomataceae*, tricolomatàcies).

Els títols dels diferents apartats aniran en majúscules (INTRODUCCIÓ, MATERIALI MÈTODES, BIBLIOGRAFIA, etc.).

La primera pàgina del treball haurà de contenir i per aquest ordre:

Títol del treball en majúscules.

Nom/s del/s autor/s i les seves adreces. El "corresponding author" ha d'indicar una adreça de correu electrònic.

Resum en l'idioma de l'article, que no excedeixi les 15 línies. Acabat per un màxim de 6 paraules clau (que no estiguin incloses en el títol del treball).

Un segon resum ("Abstract") en anglès, encapçalat pel títol del treball i acabat per 6 paraules clau ("key words") en anglès, amb els mateixos criteris que el resum en l'idioma original.

Resum, Abstract, Paraules clau i Key Words aniran encapçalats pels corresponents títols, en majúscules (RESUM, ABSTRACT, etc).

Bibliografia

L'apartat de la bibliografia anirà encapçalat pel títol: BIBLIOGRAFIA.

Cal seguir els següents models:

KÜHNER, R. & H. ROMAGNESI (1978). - Flore analytique des champignons supérieurs. Ed. Masson, Paris. 557 pp. ORTON, P. D. (1960). - New check-list of British agarics and boleti. III. Trans. Brit. Mycol. Soc. , 43(2): 159-439. Les citacions d'autors dins del text, han de seguir els criteris que recullen els exemples següents: 'segons FRIES (1837)', 'BON & BELLU (1996)', '(MALENÇON et al., 1975)', o bé: '(PEGLER, 1974: 234)'.

Totes les referències bibliogràfiques hauran d'estar esmentades dins del text.

Descripció de nous tàxons i combinacions noves

És condició prèvia a l'acceptació de la novetat per part de la revista que el autor registri el seu nou tàxon o nova combinació a Mycobank i que aporti el nombre del seu registre per tal d'incloure'l en la publicació. Sense aquest requeriment la "novetat" seria invàlida segons s'indica en el nou Codi.

Recordeu de seguir estrictament les normatives que estableix el nou Codi (exemple: per un nou tàxon ja no cal una diagnosi llatina però si una en anglès, sigui quin sigui l'idioma original del treball).

Il·lustracions, fotografies, figures, taules

Les fotografies (en blanc i negre o color) hauran d'enviar-se en format electrònic (jpg, tiff), preparades per ser reproduïdes directament i sempre en fitxers separats del text original.

La resolució emprada ha de ser de 350 dpi.

Els dibuixos en blanc i negre hauran de ser enviats en format electrònic, seguint els mateixos criteris que les fotografies. Utilitzeu sempre l'opció 'Escala de grisos', mai 'Duotono'.

Prepareu i composeu les fotografies o dibuixos d'acord amb la mida de la caixa de la RCM, que és de 13, 5 x 18 cm (pàgina sencera) o 13, 5 x 9 cm (mitja pàgina). Quedarà a criteri de l'edició de la revista la modificació final de les mides dels originals per adaptar-los a la caixa.

No barregeu en la mateixa làmina fotos en blanc i negre, en color i dibuixos.

Els números i signes de les figures (fletxes, escales, etc) s'incorporaran directament en elles mitjançant l'ús de

programes d'edició d'imatges (es recomana el Photoshop).

Les escales han d'incorporar-se sobre la figura en forma d'una barra. En el peu de figura s'haurà de fer esment de la magnitud de la barra. No s'accepten indicacions d'escala del tipus: 400x.

Les fotografies macroscòpiques dels diferents tàxons no han d'anar numerades en cap cas.

Totes les altres figures i taules han de tenir referència en el text de l'article i s'incorporaran dins d'ell segons aquests criteris: 'vegeu Fig. 1', 'taula 2', 'Figs. 2-5', etc.

Les Taules es presentaran en el mateix document del text, però en pàgina a part.

Figures i taules hauran d'incorporar els corresponents peus en un apartat titulat 'PEUS DE FIGURES' o 'PEUS DE TAULA' en el document del text de l'article, i després de la Bibliografia.

Un cop els treballs siguin rebuts s'enviaran per revisió al o als especialistes que el Consell de Redacció cregui oportuns. Les correccions així com els comentaris dels revisors seran retornades als autors perquè en facin les consideracions oportunes. El seguiment estricte d'aquestes normes de publicació de la RCM és condició prèvia per tal d'iniciar el procés de revisió del treball.

NORMAS DE PUBLICACIÓN DE LA REVISTA CATALANA DE MICOLOGIA

La Revista Catalana de Micología (en adelante RCM) acepta trabajos preferentemente escritos en catalán, castellano e inglés, pero también en francés o italiano. Los trabajos no tendrán límite de extensión, pero queda a criterio del consejo de redacción la aceptación de trabajos que excedan las 20 páginas impresas. Para facilitar la labor de los autores, a continuación se muestran en una lista tabulada, los criterios que deben seguir para elaborar su trabajo. Se aconseja a los autores que vayan marcando las casillas del margen a medida que se cumplan y que lo adjunten todo junto a su envío.

Los originales, más esta hoja con las casillas marcadas, se enviarán en formato electrónico a: revista@micocat. org. Suponiendo que los archivos sean demasiado pesados (en especial las fotografías) y superen la cuota se podrá optar por el uso de sistemas alternativos (tipo "Dropbox"). El uso del correo ordinario, CDs, DVDs, etc., no se acenta.

El texto deberá redactarse en formato *. doc o *. docx de Microsoft Word.

El tipo de letra de todo el formato será Times New Roman tamaño 11. Se deberá utilizar un interlineado de 1, 5.

El formato de página será DIN A4, con margen superior e inferior de 2, 5 cm, izquierda y derecha de 3 cm.

En el texto se evitarán en todo momento los subrayados, los tabuladores, los sangrados y el tipo de letra negrita.

Solo (ver excepción en el apartado de Bibliografía) se pondrán en cursiva los nombres de las especies y de los géneros. Las categorías taxonómicas superiores a las de género llevarán la primera letra en mayúscula, siempre que el taxón esté escrito en latín; si el taxón se vulgariza irá siempre en minúsculas (ejemplo: Tricholomataceae, tricolomatáceas).

Los títulos de los distintos apartados irán en mayúsculas (INTRODUCCIÓN, MATERIAL Y MÉTODOS, BIBLIOGRAFÍA, etc.).

La primera página del trabajo deberá contener y por este orden:

Título del trabajo en mayúsculas.

Nombre/s del/de los autor/es y sus direcciones. El "corresponding author" debe indicar una dirección de correo electrónico.

Resumen en el idioma del artículo, que no exceda las 15 líneas. Acabado con un máximo de 6 palabras clave (que no estén incluidas en el título del trabajo).

Un segundo resumen ("Abstract") en inglés, encabezado por el título del trabajo y acabado por 6 palabras clave ("key words") en inglés, con los mismos criterios que el resumen en el idioma original.

Resumen, Abstract, Palabras clave y Key Words irán encabezados por los correspondientes títulos, en mayúsculas (RESUMEN, ABSTRACT, etc.).

Bibliografía

El apartado de la bibliografía irá encabezado por el título: BIBLIOGRAFÍA. Se seguirán los siguientes modelos: KÜHNER, R. & H. ROMAGNESI (1978). - Flore analytique des champignons supérieurs. Ed. Masson, Paris. 557 pp. ORTON, P. D. (1960). - New check-list of British agarics and boleti. III. Trans. Brit. Mycol. Soc. , 43(2): 159-439. Las citas de autores dentro del texto, seguirán los criterios que recogen los siguientes ejemplos: 'según FRIES (1837) ', 'BON & BELLU (1996)', '(MALENÇON et al. , 1975)', o bien: '(PEGLER, 1974: 234)'.

Todas las referencias bibliográficas deberán estar mencionadas en el texto.

Descripción de nuevos taxones y combinaciones nuevas

Es condición previa a la aceptación de la novedad por parte de la revista que el autor registre su nuevo taxón o la nueva combinación en Mycobank y que aporte el número de su registro para incluirlo en la publicación. Sin este requerimiento la "novedad" seria inválida según se indica en el nuevo Código.

Recuerden seguir estrictamente las normativas que establecen el nuevo Código (ejemplo: para un nuevo taxón ya no es necesaria una diagnosis latina pero sí una en inglés, sea cual sea el idioma original del trabajo).

Ilustraciones, fotografías, figuras, tablas:

Las fotografías (en blanco y negro o en color) se enviarán en formato electrónico (jpg, tiff), preparadas para ser reproducidas directamente y siempre en ficheros separados del texto original.

La resolución utilizada será de 350 dpi.

Los dibujos en blanco y negro se enviarán en formato electrónico, siguiendo los mismo criterios que las fotografías. Se utilizará siempre la opción 'Escala de grises', nunca 'Duotono'.

Se prepararán y compondrán las fotografías o dibujos de acuerdo con el tamaño de la caja de la RCM, que es de 13, 5 x 18 cm (página entera) o 13, 5 x 9 cm (media página). Quedará a criterio de la edición de la revista la modificación final de las medidas de los originales para adaptarlos a la mencionada caja.

No mezclar en la misma lámina fotos en blanco y negro, en color y dibujos.

Los números y signos de las figuras (flechas, escalas, etc.) se incorporarán en ellas mediante el uso de programas de edición de imágenes (se recomienda Photoshop).

Las escalas se incorporarán sobre la figura en forma de una barra. En el pie de figura se deberá hacer mención de la magnitud de dicha barra. No se aceptan indicaciones de escala del tipo: 400x.

Las fotografías macroscópicas de les distintos taxones no tienen que ir numeradas en ningún caso.

Todas las otras figuras y tablas deben tener referencia en el texto del artículo y se incorporarán dentro de él según los criterios: 'ver Fig. 1', 'tabla 2', 'Figs. 2-5', etc.

Las Tablas se presentarán en el mismo documento de texto, pero en una página aparte.

Las figuras y tablas incorporarán los correspondientes pies en un apartado titulado 'PIES DE FIGURA' o 'PIES DE TABLA' en el documento de texto del artículo, y después en la Bibliografía.

Un vez los trabajos se hayan recibido se enviarán para revisión al o a los especialistas que el Consejo de Redacción considere oportunos. Las correcciones así como los comentarios de los revisores serán devueltos a los autores para que hagan las consideraciones oportunas. El seguimiento estricto de estas normas de publicación de la RCM es condición previa para iniciar el proceso de revisión del trabajo.

INSTRUCTIONS TO AUTHORS

The Revista Catalana de Micologia (RCM) accepts articles preferably written in Catalan, Castilian or English although French and Italian are also accepted. Although there is no limit to the size of the paper, articles longer than 20 pages are subject to approval by the Publication Committee. Below is a tabulated list of the requirements for the preparation of the manuscript. We advise authors to tick the boxes on completion of the recommendations/ requirements and send them on a separate sheet as an attachment to the manuscript.

The originals and the check sheet should be sent electronically to: revista@micocat. org. If the work is too heavy (especially photographs) for normal electronic mail, alternative systems (e. g. Dropbox) could be used. Post office mail, CD's, DVD's, etc. will not be accepted

The text should be written in *. doc or *. docx formats of Microsoft Word

Articles should be written in "Time New Roman" characters, body 11 and space 1, 5

Page size DIN A4, with margins of 2, 5 cm. (upper and lower) and 3 cm. (right and left)

Underlining, tabulations, bold letters and indentations should be avoided

Only (see exceptions in the "Bibliography") genus and species names should be in italics. For supra generic categories, only the first letter is in upper case if the taxon is written in Latin. Otherwise it should it be in lower case (e. g. Tricholomataceae, tricolomataceae).

The titles of the different sections will be in capitals (INTRODUCTION, MATERIALS AND METHODS, BIBLIOGRAPHY, etc.).

The first page of the article should mention in the following order:

The title of the article in capital letters

The author(s) with a complete postal address, email and telephone number

A SUMMARY in the original Language of the article not to exceed 15 lines with a maximum of 6 KEY WORDS (in capitals) which should not be in the article's title.

A second ABSTRACT in English with the title of the article and 6 key words with the same criteria as for the original language.

Bibliography:

This section should be capitalized: BIBLIOGRAPHY. The following models should be followed:

KÜHNER, R. & ROMAGNESI, H (1978). - Flore analytique des champignons supérieurs. Ed. Masson, Paris. 557 pp. ORTON, P. D. (1960). - New check-list of British agarics and boleti. III. Trans. Brit. Mycol. Soc. , 43(2): 159-439 Citations in the text should be as follows: "according to FRIES (1937)", "BON & BELLU (1966)", "MALENÇON et al. , 1975)", or: (PEGLER, 1974: 234)"

Only the papers mentioned in the text should be referred to. The final bibliographic list should be arranged alphabetically by the authors name and their papers listed chronologically.

New taxons and combination descriptions:

All new descriptions of taxons or combinations proposed in the article should be previously registered at Mycobank and the author(s) should provide the registration number to the editors of the RCM. Otherwise the new name is not valid according to the new Nomenclatural Code.

The new regulations of the Nomenclatural Code, should be followed strictly (e. g. for a new taxon an English description should be provided, not a Latin one as it was before).

Illustrations, photographs, figures, tables

Photos either in black and white or in colour will be sent electronically (jpg, tiff), ready to be reproduced directly. They should be sent separately from the text with a minimum resolution of 350 dpi.

Drawings should also be sent electronically but with a minimum of 600 dpi resolution. They should be in "Scale of Grays", never in "Duotono".

Composition of the plates should conform to the RCM format $13,5 \times 18 \text{ cm}$ (whole page) or $13,5 \times 9 \text{ cm}$ (half page). The Publication Committee will adapt other sizes in case these instructions are not followed.

A mixture of black + white photos, colour photos + drawings should not appear in the same sheet.

Numbers and signs on the figures (arrows, scales, etc.) should be incorporated using imaging editing techniques. We recommend Photoshop.

The scales should be in the form of a bar and the magnitude of it indicated in the figure explanation. Indications such 400x will not be accepted.

The macroscopic photographs of different taxa must not be numbered in any case

All figures and tables should be referenced in the text and will be referred to as "see Fig. 1, Table 2, Figs. 2-5" etc.

The tables should be presented with the text but on a separate sheet.

The figures and tables explanations should be presented in separate sections as "FIGURE CAPTIONS or TABLE CAPTIONS" together with the text as well as at the end of BIBLIOGRAPHY.

Upon receiving the articles, they will be submitted to the Publication Committee specialists for revision. Corrections and comments made by the specialists will be returned to the author(s) for their consideration. The acceptance of this condition is unavoidable to start the revision of the article.